



55809
2013

1 * *
- « » (« »)
. 4
2 371 « »
3 8 *
22 2013 . No 1693-
4
1.0—2012 (8). -
(1
) « », -
» () « -
» « *
,
(gost.nj)

Non-destructive testing. Ultrasonic flaw detectors.
Methods of measuring the main parameters

— 2015—07—01

1

(—),

*

0.2 30 .

2

12.1.003-83

14782-86
21397-81

23702-90

3

3.1

-

•

•

..... (293 ± 5) ((20 ± 5) *];
..... (65 ± 15) %;
..... (100 ± 4) [(750 ± 30 . .)].

3.2

3.3

3.4

3.5 -

3.6 -

4

4.1 :

• ;

• - ;

• ;

• ;

• ;

• ;

- ;

4.2 :

• - 10 ;

- 3 - 0,1—35 ;

• - 5%;

• - 1.0 ;

• - 30 ;

• - 10%;

• - 12%;

• - 0.03-300 ;

• - 0.035-50-10* ;

4.3 - :

• - 0,1-35 ;

• - 1-10³ ;

• - 0.01 ;

4.4 :

• - 0 35 ;

• - 75±1 50 ±1%;

- 100 ;

- 0.1 ;

• - ±0.2

±0.5 10 50 ±1.0 50 100 0 10 .

4.5 -

4.6 :

• - 0,1-10* ;

• - 0.2-10* ;

• - 1-50-10* ;

• - 3 .

1.7 :

• ^ 0.1 30 ;

• 5/f₀

• 10/f₀;

• 10 20 ;

• 5

• 50 ;

- ,

• ;

• -

.Y_v . N_v= 1,2,3... 10.

4.8
4.9

4.10

4.11

4.12

()

1/3.

4.13

5

4.1

1

5.2

4.

5.3

5.4

6 7

)

);

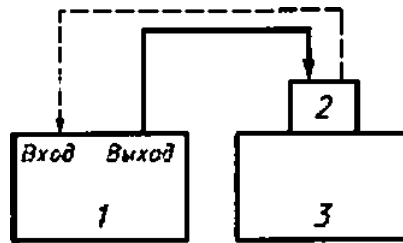
(

)

6

5.1

1.



1-

: 2 -

: 3 -

1—

6.1.1

{±AS_H

)

()

)

(S_h \$>.

)

AS_H

H_s

$$AS_H H_s - \{N_{ycm} - N_H\},$$

(1)

1

St

S_N l_v

0.5.

6

$SH * Si$ (8)

6.3

2.

0,3 U_{max}

l_v

0,3 U_{max}

$TM = V_{max}$

$\pm 0,3 U_{max}$

5).

6.3 $0 \wedge 6$ TM

6.4

6.5

AN_{puix}

3) $\frac{1}{2}$ $N_K - N_K \cdot N$ - 1, 2, 3 ... (-) (10)

1, — ; — 0 /, 1 — (11)

(12)

6.6) 1. 4. (-)

6.6.1 : AS // -) 6.1: /-> : $\frac{5}{Aff}$ -) AS_H -). <«)

$W_{y_{et}}$ — N_{yQ} —) AH_S) 6.6.2) AL 6.1.2; : / -) *

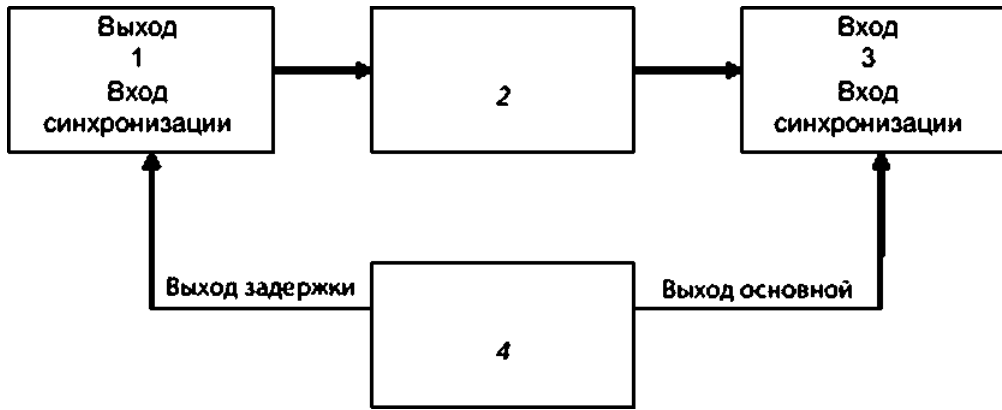
AL, - (ALj - AL) -14 (14)

AL — AL, — 6.7

7

7.1
7.1.1

3.



1- .2- .4- :3-
3

7.1.2

0.1 0,9;

U_r

0.5 U_r ;

F :

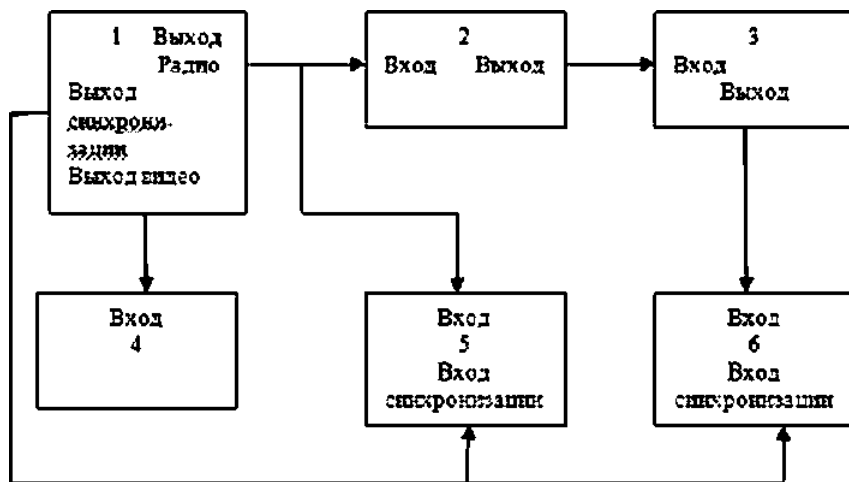
F

7.2

7.2.1

8

4.



1 > .2- :3- :4- :5- :

4

()

.1.

	AS_H	6.1.1
	ah_s	6.1.1
	AL	6.1.2
	AM	6.1.3
		6.1.4
		6.1.5
S		
	iV^{\wedge}	6.1.6
« »,		6.1.7
		6.1.6
	aN_m	6.1.9
	6	6.1.10
	St	6.2
	to	
	>0	6.3
8	$*0$	6.4
()	AN_{puix}	6.5
	$AS,$	66.1
		6.6.2

{)		
2.1.2.	,	7.1.2
2.1.3.	»*	7.1.2
,	,	7.1.2
		7.1.2
.	k_{max}	7.2.2
.		7.2.2
..... %.....	- ^ . ..	7.2.3
-	ΔiV_f	7.2.4
8 .	^8	7.2.5
	$j'_{rmax} 'min$	7.2.5
		7.2.5
:		
.%	$S,8N$	7.3.2
,		7.3.3
/	*. ,	7.4

()

600 .
 .1.
 10 .

VD1. VD2 -
 S -
 R3 -

300 .1.

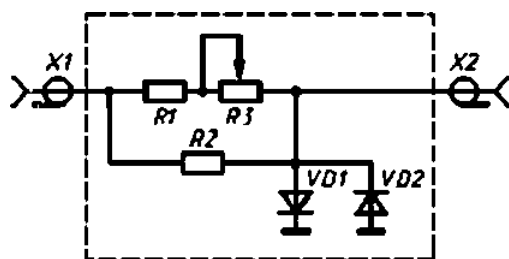


Рисунок Б.1

.1-

$I_{?1}$	-0.5 820 %:
$R2$	-0.25 10 ±5 %
$R3$	42 8 -2-12 10
VD1.VD2	522 .363.029
1. 2	-50—73 ; 8PO.364.OTO

()

.1.

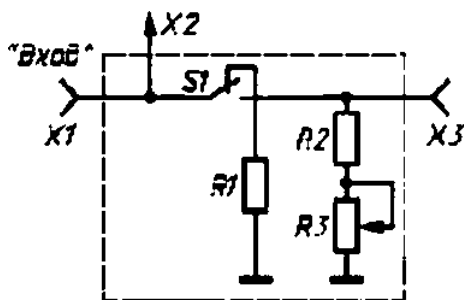


Рисунок В.1

R1'	2-14-1	-50	1 %
R2	2-14-1	-43	11 %
R3	4-1	-220	
S1	MT1	0.360.207	
Xf		-50—73	
2		-50—74	
		-50—730	
*	1	50	75

()

- 1) -2;
- 2) -10 .
- 3) 1-65 ;
- 4) - ;
- 5) -64. -26;
- 6) -50-2;
- 7) 14782. 21397. 23702;
- 8) КМТ-176М1;
- 9) .

()

()

« »

« _____ » _____ 20

. Nb _____

_____ 20 _____

	. . Nb	,

.

,

,

()

,

- [1] 13.01.2003 . N9 6; (22.01.2003 ., per. N9 4145)
- [2] 2.2.4/2.1.8.582-96

620.179.15:006.354

17.020

, : - . , ,

01.11.2014. 60x841/6.
. . . 2,32. 53 . . 3556.